

КАЛОРИМЕТРИЯ ПЛАВЛЕНИЯ ЯДЕР КЛЕТОК ПЕЧЕНИ КРЫСЫ В ПРИСУТСТВИИ ИОНОВ МАГНИЯ

© 2023 г. Г.Я. Коломийцева*, А.Н. Прусов*, #, Е.А. Коломийцева**, Т.А. Смирнова*, ***

*НИИ физико-химической биологии им. А.Н. Белозерского Московского государственного университета имени М.В. Ломоносова, Ленинские горы, 1/40, Москва, 119992, Россия

**МИРЭА – Российский технологический университет, просп. Вернадского, 78, Москва, 119454, Россия

***ВНИИ сельскохозяйственной биотехнологии РАН, Тимирязевская ул., 42, Москва, 127550, Россия

#E-mail: prusov@belozersky.msu.ru

Поступила в редакцию 03.08.2022 г.

После доработки 27.10.2022 г.

Принята к публикации 01.11.2022 г.

С помощью метода дифференциальной сканирующей калориметрии определили термодинамические параметры деконденсации внутриядерного хроматина клеток печени крысы, индуцированной понижением концентрации ионов магния от 5 до 0 мМ. Процесс плавления хроматина в диапазоне температур 70–100°C происходит в последовательности: плавление кор-гистонов, плавление релаксированной ДНК, плавление топологически напряженной ДНК. Было установлено, что $T_{\text{пл}}$ и ΔH отдельных пиков также зависят от концентрации ионов Mg^{2+} в буфере. В ядрах с конденсированным хроматином ионы Mg^{2+} в концентрации 5 мМ существенно в сравнении с развернутым хроматином увеличивали $T_{\text{пл}}$ кор-гистонов (на ~7°C), но при этом понижали $T_{\text{пл}}$ ядерной ДНК как в релаксированном, так и в напряженном состоянии (на ~2.5°C и ~7.5°C соответственно). При этом в присутствии ионов Mg^{2+} энタルпия плавления пиков существенно увеличивалась. В то же время снижение полимерности внутриядерной ДНК нивелирует стабилизирующую кор-гистоны действие ионов Mg^{2+} . Повышение концентрации ионов Mg^{2+} выше 5 мМ вызывает появление нового пика с $T_{\text{пл}}$ выше 100°C, который, возможно, отражает термическое поведение неких Mg -индуцированных агрегатов. Обсуждаются возможные механизмы, объясняющие особенности термического поведения хроматина внутри ядра.

Ключевые слова: ядро, хроматин, катионы Mg^{2+} , дифференциальная сканирующая калориметрия, термодинамика, торсионное напряжение ДНК.

DOI: 10.31857/S000630292302014X, **EDN:** CBBIGP

Эукариотическая ДНК хранится и функционирует внутри ядра диаметром в несколько мкм в виде динамического комплекса с гистонами и кислыми белками – хроматина, чья структура до сих пор остается главной интенсивно изучаемой, но до сих пор плохо понятой проблемой молекулярной биологии [1].

Структурной единицей хроматина служит нуклеосома, где короткий отрезок ДНК (146 пар оснований) делает 1.75 оборота левовращающей спирали вокруг положительно заряженного октамера гистоновых белков (кор-гистонов H2A, H2B, H3 и H4) с отрезком линкерной ДНК переменной длины в 20–80 пар оснований. Нуклеосомные частицы, объединенные линкерной ДНК, формируют отрицательно заряженную хро-

матиновую фибрillу толщиной 10 нм, известную как «бусы на нитке».

Установлено, что концентрация фосфатов ДНК в клетке меняется по клеточному циклу от 50–300 мМ фосфатов в интерфазе до 340–600 мМ фосфатов в митотической хромосоме [2]. Этот процесс, известный как конденсация хроматина (образование структур высшего порядка), чрезвычайно важен не только для эффективного хранения и защиты генетического материала, но и, как полагают, служит одним из способов регуляции генной экспрессии [3], а также необходим для выполнения других важных биологических функций таких как репликация, репарация, рекомбинация и др. [4].

На сегодняшний день действующими являются две парадигмы структур высшего порядка в хроматине – иерархические и полимерные [5–8]. Современные технологии исследования хроматина (криомикроскопия, 3С- и более высокие Ні-С-методики и др.) дают все больше аргументов

Сокращения: ДСК – дифференциальная сканирующая калориметрия, ТЭА – триэтаноламин, НЕМ – N-этилмалеимид.

для жидкокапельной модели хроматина *in vivo*, которая предполагает, что 10-нм фибриллы конденсируются в нерегулярный и динамический полиморфный ансамбль и свидетельствуют в пользу полимерной модели с «межпальцевой» укладкой элементарных 10-нм фибрилл. В зависимости от среды (эндогенных катионов, кроудинга, ионной силы и т.д.) нерегулярная и динамичная 10-нм фибрилла в ядре может формировать различные структуры, включая растянутые, завернутые, пересекающиеся, петлеобразные, колончатые [8].

Точный физический механизм индуцируемых катионами притяжений одноименно заряженных полимеров, лежащий, как полагают, в основе феномена компактизации, все еще остается неясным, хотя в последние годы этой проблеме уделяется особенно много внимания [9]. Предложено несколько электростатических моделей [10–12], но ни одна из них не в состоянии полностью объяснить весь накопленный экспериментальный материал.

В отличие от ДНК, чья индуцируемая поливалентными катионами конденсация *in vitro* интенсивно изучается многие годы [13], эксперименты с хроматином и его составными структурами (кор-частицами, нуклеосомами, выделенным и реконструированным хроматином) относительно немногочисленны [14–19], а исследований взаимодействия катионов с хроматином внутри ядра почти нет из-за ограниченности адекватных методов исследований и трудностей в интерпретации результатов [20, 21].

Вместе с тем известно, что высшая структура хроматина может нарушаться при выделении его из ядер [22], поэтому эксперименты *in vitro* на выделенном хроматине не всегда могут отражать ситуацию *in vivo*.

Магний и кальций – основные двувалентные катионы, участвующие в конденсации хроматина в клетке [23]. Эти ионы используются для выделения ядер с конденсированной структурой хроматина, характерной для его состояния *in situ* [24]. Катионы Mg^{2+} влияют на механические свойства ядер, изменяя их пластичность [25].

Причины компактного состояния ядерного хроматина следует искать в особенностях его структуры и окружения в ядре [26]. Хроматин в ядре находится в ограниченном объеме и в высокой концентрации, в условиях кроудинга и в среде с полиаминами и катионами металлов, totalная концентрация которых значительна (от 2 до 40 мМ) [27–29], и, как теперь показано, имеет пластичную нуклеосомную структуру, обеспечивающую его жидкокристаллическое поведение [30].

В нашей работе мы приводим данные об изменении энергетического состояния хроматиновых доменов внутри ядер клеток печени крысы, индуцируемом ионами магния. Эксперименты бы-

ли выполнены методом дифференциальной сканирующей калориметрии (ДСК) на суспензии ядер клеток печени крысы, выделенных в присутствии ионов Mg^{2+} . Результаты дают возможность предположить участие межфибриллярных взаимодействий, индуцируемых магнием, в ослаблении внутрицепочечных взаимодействий ДНК. Сообщается об увеличении магнием стабильности гистонового кора, коррелирующей с дестабилизацией ДНК.

МЕТОДЫ ИССЛЕДОВАНИЯ

Клеточные ядра получали из печени самок белых крыс массой 100–150 г [31]. Гомогенизацию печени и дальнейшие процедуры проводили в растворе №1 следующего состава: 20 мМ ТЭА (триэтаноламин)-HCl, pH 7.6, 30 мМ NaCl и 10 мМ $MgCl_2$, содержащем 10% сахарозы, 0.2 мМ фенилметилсульфонил фторида (Sigma, США) и 4 мМ N-этилмалеимида (NEM) (Sigma, США). Гомогенат центрифугировали при 1000 g 10 мин, осадок смешивали с раствором №2 следующего состава: 20 мМ ТЭА-HCl, pH 7.6, 30 мМ NaCl и 5 мМ $MgCl_2$, содержащим 2.5 М сахарозы, 0.2 мМ фенилметилсульфонил фторида и 4 мМ NEM до конечной концентрации сахарозы 2.1 М и центрифугировали при 50000 g в течение 45 мин. Осадок ядер ресуспендировали в растворе №2 без сахарозы и без NEM и осаждали 5 мин при 1000 g . Выделенные и очищенные таким образом ядра хранили при $-60^{\circ}C$ в 60%-м глицерине. Перед использованием аликовты ядер промывали раствором, содержащим 20 мМ ТЭА-HCl, pH 7.6, 30 мМ NaCl и 5 мМ $MgCl_2$, и ресуспендировали в соответствующих растворах для ДСК.

Содержание ДНК и РНК в препаратах ядер определяли спектрофотометрически на спектрофотометре Hitachi-124 (Япония) по методу, описанному в работе [32]. Концентрацию ДНК выражали в молях нуклеотидов, используя молекулярную массу одного нуклеотида 330 Да.

Электрофорез белков выполняли в 15%-м SDS-полиакриламидном геле, электрофорез ДНК проводили в 1%-м агарозном геле в боратном буфере.

Дифференциальная сканирующая калориметрия суспензии ядер. Суспензию изолированных ядер клеток печени крысы (0.5 мг ДНК на мл, или 1.5 мМ нуклеотидов) помещали в платиновую ячейку микрокалориметра ДАСМ-4 (НПО «Биоприбор», Пущино) и сканировали в температурном диапазоне 25–130°C со скоростью 2°C в мин. Суспензии ядер предварительно дегазировали. Ячейку сравнения заполняли соответствующим буфером. Обработку данных проводили в программе «Arina 2», разработанной в НИИ физико-химической биологии им. А.Н. Белозерского

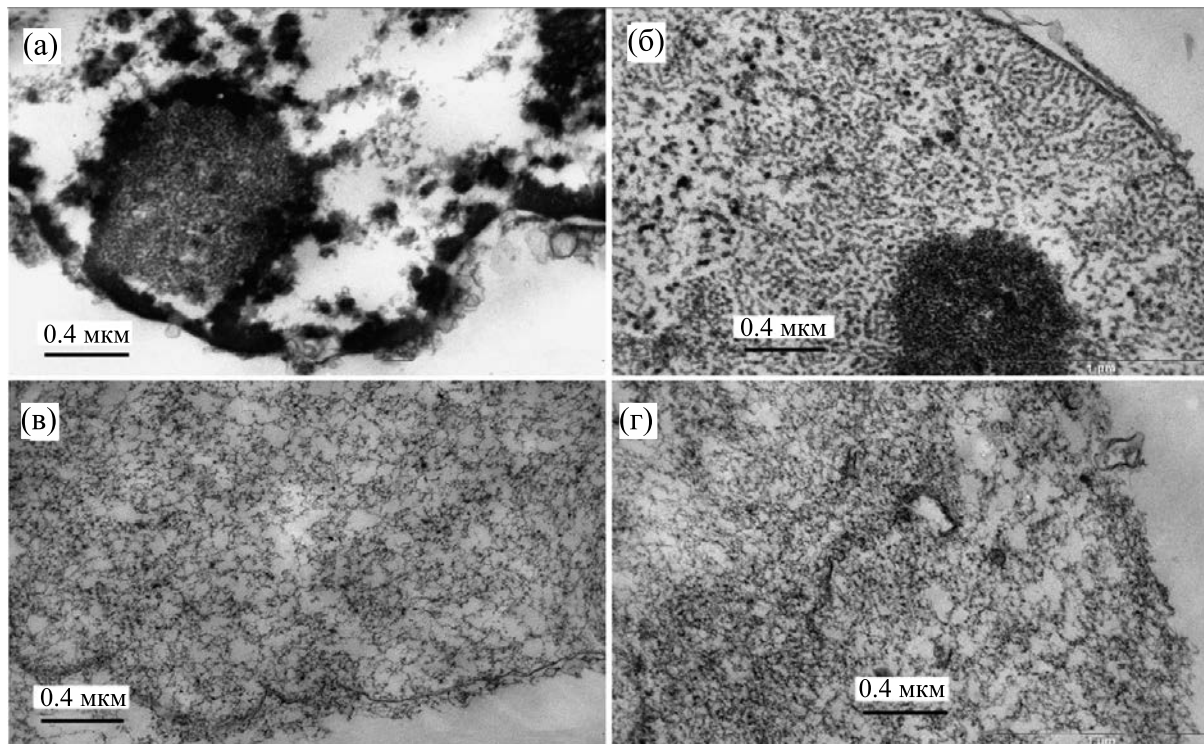


Рис. 1. Электронные микрофотографии изолированных ядер клеток печени крысы в растворе 20 мМ ТЭА, pH 7.6, содержащем 5 мМ MgCl₂ (а), 1 мМ MgCl₂ (б), 0.1 мМ MgCl₂ (в), 1 мМ ЭДТА (г).

МГУ. Программа записывала кривую зависимости избыточной теплоемкости образца от температуры. Из кривой вычиталась приборная базовая линия теплопоглощения буфера и химическая базовая линия, которую вычисляли по формуле $(1 - \alpha)C_H + \alpha C_D$, где C_H и C_D – теплоемкости нативного и денатурированного состояний, а α пропорциональна количеству денатурировавшего вещества, т. е. $\alpha = S_1/S$, где S_1 – площадь под пиком, ограниченная кривой сверху, базовой линией снизу и данной температурой справа, а S – общая площадь под пиком. Сигнал (в мкВт) нормировали на концентрацию и скорость прогрева и переводили в стандартные для теплоемкости единицы измерения (кДж/моль·град) путем умножения на коэффициент $k = M \cdot 0.06/CVv$, где v – скорость нагрева в град/мин, V – объем ячейки в мл, C – концентрация макромолекул в мг/мл, M – молекулярная масса образца в кДа.

Деконволюцию термограмм проводили по программе Origin 7.

Электронная микроскопия. Образцы фиксировали 1%-м глутаровым альдегидом в соответствующем буфере (исходный 25%-й глутаральдегид нейтрализовали до pH 7.0 добавлением NaOH) при 4°C в течение 1.5 ч, а затем 1%-м OsO₄ в течение 1 ч, дегидратировали и заключали в эпон. Ультратонкие срезы получали на ультратоме LKB

III (LKB, Швеция), контрастировали цитратом свинца и просматривали в электронном микроскопе JEM-1400 (Jeol, Япония) при ускоряющем напряжении 100 кВ.

РЕЗУЛЬТАТЫ И ОБСУЖДЕНИЕ

Для характеристики структуры хроматина в выделенных ядрах использовали электронную микроскопию. Выделенные и отмытые от глицерина ТЭА-буфером с 5 мМ MgCl₂ ядра переводили в буфера с более низким содержанием ионов Mg²⁺ (< 5 мМ) и после 15 мин выдерживания подвергали электронно-микроскопическому исследованию, показавшему, что если в диапазоне концентраций 5–2 мМ Mg²⁺ ядерный хроматин выглядит как скопление плотных гетерогенных глобуллярно-фибриллярных структур диаметром 100–200 нм без заметных морфологических отличий, то при ~1 мМ Mg²⁺ он становится гомогенным с диаметром фибрилл и глобул около 30 нм. Далее при уменьшении концентрации магния до 0.1 мМ хроматин деконденсируется, демонстрируя фибриллы, диаметр которых около 10 нм, и мало отличается от диаметра фибрилл в буфере с ЭДТА (рис. 1).

Изменение конденсации хроматина было подтверждено данными оптических измерений при $\lambda = 630$ нм (рис. 2). Известно, что мутность ядер-

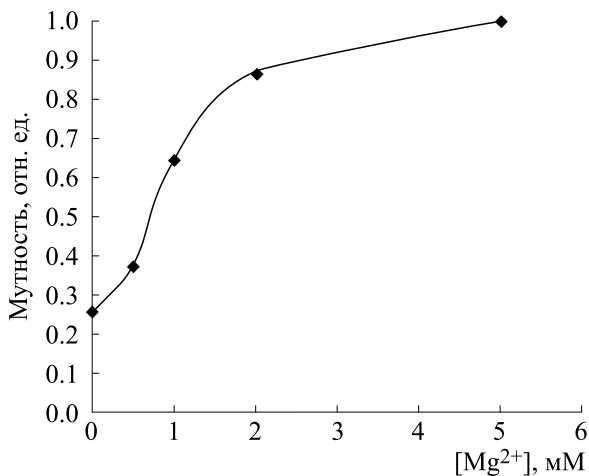


Рис. 2. Нормированная зависимость поглощения при $\lambda = 600$ нм ядерной супензии от концентрации ионов магния. Поглощение при 5 мМ $MgCl_2$ принято за единицу. Концентрация ДНК в супензии составляла ~ 50 мкг/мл.

ных супензий коррелирует с их морфологией. Поглощение, фиксируемое в длинноволновой области (при длинах волн выше 300 нм), обусловлено рядом эффектов [33], среди которых основной вклад вносит рассеяние внутриядерного хроматина. Как следует из рис. 2, наблюдаемое нормированное поглощение супензии ядер при 600 нм снижалось почти в четыре раза при уменьшении концентрации ионов Mg^{2+} от 5 мМ до перевода их в буфер с ЭДТА.

Электрофорез белков подтвердил неизменный состав и соотношение фракций гистонов во всем диапазоне используемых концентраций ионов магния во всех изолированных ядрах.

Таким образом, исследуемые образцы ядер содержат разный по компактизации хроматин и могут быть использованы для решения поставленной задачи — термодинамического сравнения плавления компактного и деконденсированного хроматина внутри самого ядра в зависимости от концентрации ионов магния.

Из литературы известно, что профили термического плавления изолированных ядер животных и человека являются многокомпонентными (три–пять пиков), что соответствует плавлению разных доменов ядерного хроматина [34, 35]. Показано также, что интенсивности пиков и их соотношение зависят от стадии клеточного цикла, возраста, природы катионов в буфере и ионной силы [36–39].

На рис. 3 представлены полученные нами экспериментальные зависимости избыточной молярной теплоемкости ΔC_p ядер от t при разных концентрациях ионов Mg^{2+} . При 5 мМ на экспериментальной термограмме видны только два пи-

ка — основной при $T_{пл} \approx 83^\circ\text{C}$ и небольшой пик, который выглядит как плечо основного пика при температуре около 94°C . При снижении концентрации магния уже можно вычленить первый пик, сначала как плечо слева от основного пика, и в отсутствие магния в растворе (в присутствии 1 мМ ЭДТА) — как отдельный пик с $T_{пл}$ около 74°C . На рис. 3б приведены эти же термограммы с деконволюцией на три пика.

По интерпретации, предложенной авторами работы [38], в порядке возрастания $T_{пл}$ в хроматине ядра последовательно плавятся белки кора нуклеосом (пик I), релаксированная ДНК (пик II) и топологически напряженная ДНК (пик III). Следует заметить, что продолжают существовать и другие интерпретации пиков [40–42], хотя для идентификации этих пиков авторы подчас использовали одни и те же биохимические подходы. На основании того, что пик I исчезает под действием протеазы [43] и, в отличие от пиков II и III, не реагирует как ДНК при изменении ионной силы [38], он определяется как пик плавления мажорного белка, коим в ядрах являются гистоны. Поскольку пик III разрушается при небольшом действии нуклеазы [34, 41], а известно, что конденсация хроматина в ядре не меняется из-за расщепления ДНК, пик III не может быть связан с конденсацией хроматина. В то же время величина пика III связана с активностью клетки [37], и при его уменьшении материал пика III переходит в пик II, что может свидетельствовать о плавлении в его составе ДНК в состоянии топологической напряженности, которое чувствительно к действию нуклеазы [34, 38]. Учитывая эти данные, а также собственные результаты по взаимодействию ядер с антибиотиком дистамицином [44], интерпретация, предложенная в работе [38], представляется нам более предпочтительной.

Из рис. 3 отчетливо видно, что в низкой ионной силе при 5 мМ $MgCl_2$ имеет место практическое совмещение пиков I и II. Небольшой размер пика III, по-видимому, связан с недостаточным ингибированием нуклеаз в среде с ионами магния (несмотря на использование NEM) в процессе более длительного в нашем случае выделения ядер по сравнению с более коротким выделением с меньшей очисткой ядер или в присутствии ЭДТА [34, 35, 40]. Вследствие этого часть топологически напряженной ДНК обычно большого пика III переходит в пик II.

То же самое следует из анализа термограмм ядер, полученных без NEM — ингибитора сериновых протеаз, активирующих эндонуклеазы. По данным электрофореза выделенная в присутствии NEM ядерная ДНК имела длину около 20–50 т.п.н., а средняя длина ДНК в препаратах без NEM составляла примерно 1–3 т.п.н. (рис. 4).

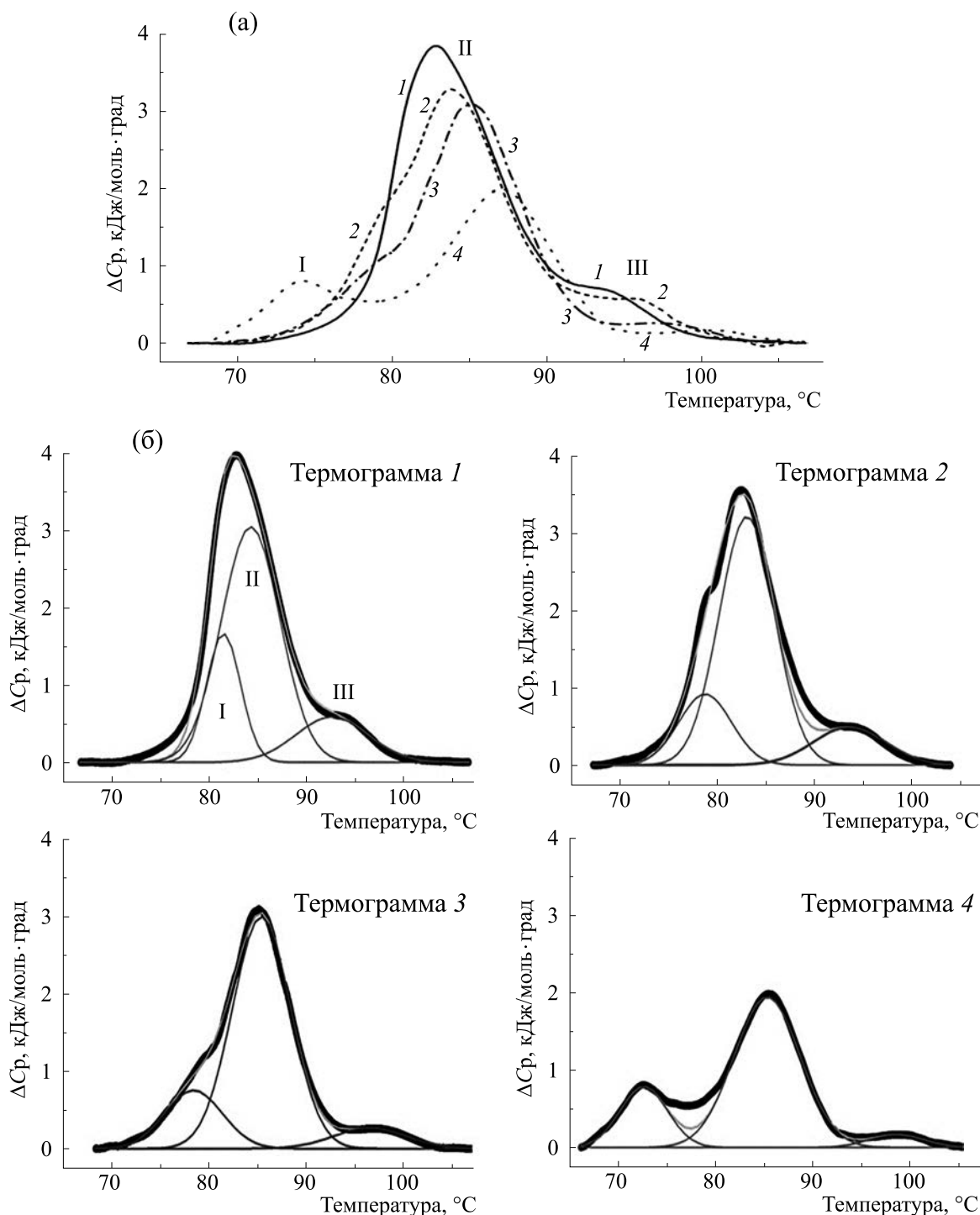


Рис. 3. Термограммы плавления ядер клеток печени крысы: (а) – в растворе 20 мМ ТЭА, pH 7.6, содержащем 5 мМ $MgCl_2$ (кривая 1); 1 мМ $MgCl_2$ (кривая 2); 0.1 мМ $MgCl_2$ (кривая 3) или 1 мМ ЭДТА (кривая 4); (б) – деконволюция тех же термограмм. Кривая, суммирующая компонентные кривые, накладывается на наблюдаемую кривую и почти не видна.

На термограммах этих ядер полностью отсутствовал пик III (рис. 5), пик II уменьшался и немного сдвигался в низкотемпературную область, по-видимому, из-за существенного снижения

молекулярной массы ДНК. Снижение полимерности ДНК сильно сказалось на пике I – он сместился на 7°C в низкотемпературную область в сравнении с контролем и проявился как отдель-

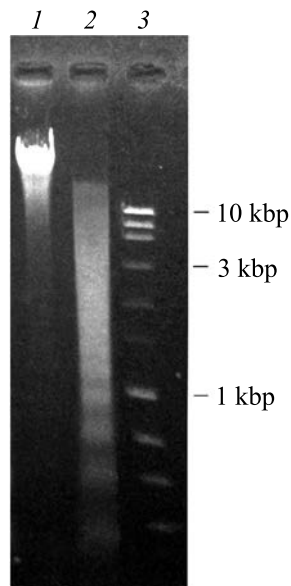


Рис. 4. Электрофорез в 1%-м агарозном геле ДНК из ядер клеток печени крысы в присутствии (дорожка 1) и в отсутствие (дорожка 2) NEM в буфере выделения; дорожка 3 – ДНК-маркеры.

ный пик. Отметим, что его $T_{\text{пл}}$ практически совпала с $T_{\text{пл}}$ пика I в ядрах с деконденсированным с помощью ЭДТА хроматином (см. рис. 3). Таким образом, можно заключить, что снижение молекулярной массы внутриядерной ДНК нивелирует стабилизирующее кор-гистоны действие ионов Mg^{2+} . Отсюда следует также, что стабилизация кор-гистонов связана с ДНК-гистоновыми взаимодействиями.

Термодинамические параметры кривых плавления на рис. 3 рассчитывали из термограмм по модель-независящей системе $\Delta H = \int C_p \cdot dT$, $\Delta S = \int (C_p/T) \cdot dT$, а изменение свободной энергии

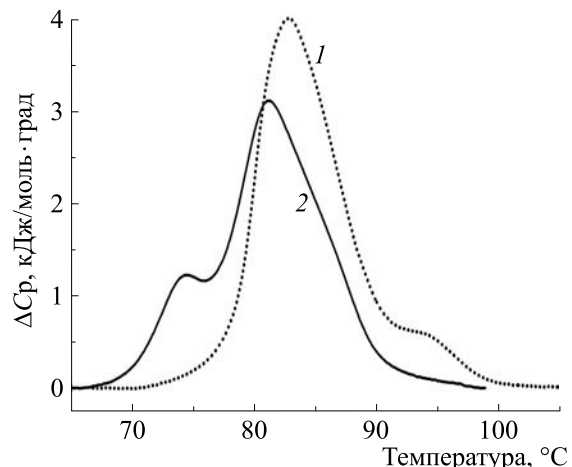


Рис. 5. Термограммы плавления ядер клеток печени крысы: кривая 1 – в 20 мМ ТЭА, pH 7.6 и 5 мМ $MgCl_2$, ядра выделены с NEM; кривая 2 – ядра в том же растворе, но выделены без NEM.

рассчитывали по формуле $\Delta G = \Delta H - T\Delta S$. Суммарные величины этих параметров и значения ΔH и $T_{\text{пл}}$ для каждого пика в отдельности для разных концентраций ионов Mg^{2+} в буфере приведены в табл. 1. Из рис. 3 и табл. 1 видно, что $T_{\text{пл}}$ ДНК как релаксированной, так и напряженной, увеличиваются с уменьшением концентрации ионов Mg^{2+} в буфере, тогда как $T_{\text{пл}}$ белкового пика уменьшается. Максимальные изменения $T_{\text{пл}}$ составили для ДНК в пиках II и III – 2.6 и 7.6°C соответственно, тогда как $T_{\text{пл}}$ белка в диапазоне 5–0 мМ $MgCl_2$ снизилась на 7.3°C по сравнению с $T_{\text{пл}}$ пика 1 в ядрах при 5 мМ $MgCl_2$. Обращает на себя внимание разница во влиянии магния на плавление релаксированной и топологически напряженной ДНК. Для последней оно существен-

Таблица 1. Термодинамические параметры плавления ядер в растворе 20 мМ ТЭА, pH 7.6 с разным содержанием ионов магния и пиков плавления, полученные в результате деконволюции термограмм

	Суммарные параметры			ΔH			T_m		
	ΔH	ΔS	ΔG	Пик 1	Пик 2	Пик 3	Пик 1	Пик 2	Пик 3
5 мМ $MgCl_2$	36.6	99.8	6.9	7.4	23.1	5.5	81.5	84.3	92.6
1 мМ $MgCl_2$	35.0	95.4	6.6	6.2	22.9	4.5	80.3	84.6	95.1
0.1 мМ $MgCl_2$	30.3	82.6	5.7	5.5	22.3	2.5	78.4	85.4	96.5
1 мМ ЭДТА	24.2	66.0	4.5	4.8	16.5	1.2	74.2	86.9	100.2

Примечание. Показаны средние значения из двух-трех измерений с ошибкой, не превышающей 0.5°C для $T_{\text{пл}}$ и 5% для ΔH (кДж/моль нуклеотидов), ΔS (Дж/моль нуклеотидов·град) и ΔG (кДж/моль нуклеотидов).

но выше. Получается, что в связанных магнием хроматиновых фибрillaх напряженная ДНК сильнее дестабилизируется. Повышенная $T_{\text{пл}}$ напряженной ДНК по сравнению с релаксированной может служить указанием на то, что напряженность ДНК в ядре определяется положительным торсиональным стрессом, связанным с вращением оси спирали ДНК влево, сжимающим комплементарные цепочки ДНК. В этом случае эффект магния, растягивающий комплементарные цепи ДНК (см. ниже), может сильнее влиять на нестабильное напряженное состояние ДНК, действуя аддитивно с силами, которые стремятся вернуть ДНК в стабильное состояние.

Из данных табл. 1 можно заключить, что индуцируемая понижением концентрации ионов Mg^{2+} декомпактизация ядерного хроматина сопровождается уменьшением суммарной энталпии на ~ 12 кДж/моль нуклеотидов (сравни ядра в 5мM $MgCl_2$ и ядра в ЭДТА). Этот вывод не совпадает со сделанным ранее заключением [40], что индуцируемый понижением ионной силы процесс декомпактизации хроматина атермичен и не изменяет ΔH плавления ядерного хроматина. Анализируя данные по плавлению отдельных пиков можно видеть, что наибольшие изменения энталпии деконденсация вызывает в пике III. Его интенсивность падает почти в пять раз, тогда как наиболее представленный в термограмме пик релаксированной ДНК уменьшается всего лишь в полтора раза. Возможно, эти различия между пиками II и III при разворачивании хроматина и разбухании ядер вызваны потерей важных для стабилизации напряженного состояния ДНК контактов с матричными структурами ядра. В результате ДНК релаксирует и плавится уже в пике II. При этом соотношения ΔH пика белка и двух пиков ДНК остаются практически неизменными.

Можно представить, что ионы Mg^{2+} взаимодействуют независимо с белком и ДНК хроматина, вызывая такие изменения в структуре каждого из них, из-за которых меняется их стабильность. Однако наблюдаемая отрицательная корреляция в термическом поведении пиков I и II не исключает и возможность модуляции магнием воздействия одного компонента нуклеосомы на стабильность другого, подобно тому, как это, например, происходит при изменении ионной силы [43] и, в частности, за счет изменения под действием магния ДНК-гистоновых взаимодействий.

О понижении $T_{\text{пл}}$ основного пика ДНК в ядрах в присутствии ионов Mg^{2+} сообщалось в работе

[45], где авторы плавили ядра в присутствии ионов Mg^{2+} и этанола. Снижение $T_{\text{пл}}$ ДНК ядер в буфере с ионами Mg^{2+} можно заметить на экспериментальных кривых в работе [40]. Оно отмечено на термограммах плавления хроматина в работе [46], хотя сами авторы не обсуждают причины этого эффекта.

Известно, что щелочноземельный металл Mg относится к категории бивалентных металлов, взаимодействующих, главным образом, с фосфатами ДНК и нейтрализующих их [47]. Поэтому ионы Mg^{2+} в низких концентрациях обычно повышают $T_{\text{пл}}$ ДНК в растворе, хотя известны и другие противоположные эффекты, зависящие от концентрации как ДНК, так и Mg^{2+} [48, 49]. С другой стороны, известно, что двухвалентные катионы Mg^{2+} и Ca^{2+} в физиологической концентрации не конденсируют чистую ДНК в растворе [13], но могут конденсировать при достаточно больших концентрациях катионов в пленках [50] или в параллельных слоях в 2D-размерном пространстве [51].

Стабильность двухцепочечной ДНК определяется стэкинг-взаимодействиями оснований, их спариванием, свойствами гидратационной оболочки, а дестабилизирует ДНК отталкивание отрицательно заряженных фосфатов. Понижение $T_{\text{пл}}$ ДНК означает ослабление некоторых стабилизирующих ее внутрицепочных взаимодействий и (или) возрастание сил дестабилизирующих.

Мы полагаем, что в ядре именно катион-индуцируемые межфибриллярные взаимодействия вносят основной вклад в дестабилизацию внутриядерной ДНК. Авторы работы [52] предложили электростатическую zipper-модель конденсации-агрегации одноименно заряженных полимеров. Суть ее для ДНК заключается в zipper-подобном выстраивании отрицательно заряженных фосфатов сахарно-фосфатного остова одной молекулы ДНК напротив положительно заряженных катионов, связанных в бороздках ДНК другой молекулы. С помощью предложенной спекулятивной модели авторы объяснили повышение температуры плавления в агрегатах гомологичной и пластичной ДНК в экспериментах по их термической денатурации [53] «идеализацией» структуры ДНК, хотя не исключили возможности, что в присутствии двухвалентных катионов электростатические силы и силы гидратации макромолекул способны индуцировать и пока необъясненный противоположный эффект. По мнению авторов, модель является универсальной и может быть

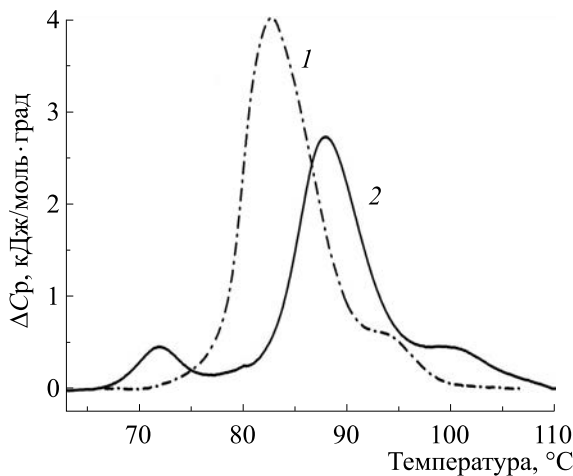


Рис. 6. Термограммы плавления ядер клеток печени крысы: кривая 1 – в 20 мМ ТЭА, pH 7.6 и 5 мМ MgCl₂; кривая 2 – перевод ядер из буфера с 5 мМ MgCl₂ (1) в буфер с 125 мМ NaCl.

применима как к ДНК, так и к компактизации фибрилл хроматина. Для хроматина по этой модели основой стабильности катион-индуцируемой ассоциации на определенных расстояниях может служить так называемая «структурная гомология» или «структурная комплементарность» фибрилл хроматина [54]. В рамках этой теории, учитывая современные данные о структуре фибриллы хроматина, объяснить снижение $T_{\text{пл}}$ в присутствии ионов Mg²⁺ не представляется возможным.

Поэтому наше объяснение сводится к следующему. Уже в нуклеосомах ДНК образует два параллельно расположенных супервитка ДНК, тесно сближенных за счет октамера гистонов, подобно расположению ДНК в пленках [50] или в параллельных слоях между положительно заряженными мембранными [51]. В ограниченном пространстве ядра при конденсации хроматина для достижения высокой плотности упаковки ДНК нуклеосомы вступают во взаимодействия «лицом к лицу» с поверхностями ДНК, увеличивая количество параллельных тесно сближенных супервитков ДНК [30]. В присутствии ионов магния электростатические силы притяжения между фибриллами формируют перпендикулярную оси ДНК силу растяжения между двумя комплементарными цепочками ДНК, ослабляя их взаимодействие. В работе [56] приводится оценка силы притяжения между молекулами ДНК в растворе на расстоянии 29 Å при концентрации магния ~100 мМ. Она составила примерно -0.02 kT на пару оснований, что существенно меньше мини-

мальной энергии денатурации ДНК (примерно -2 kT). Видно, что сила притяжения очень слабая, однако в случае хроматина в условиях ядра она может возрасти за счет специфических особенностей катионов магния: их малый размер, жесткая координация и направленность связей, способность создавать прямые связи между фосфатами соседних фибрилл способствуют возникновению жесткой связи каждой из комплементарных цепочек ДНК с соседней молекулой ДНК. Малая растворимость солей фосфатов, образующихся при прямом взаимодействии с магнием по сравнению с гидратированным магнием и их энергетическая выгодность [56] увеличивают силу притяжения между фибриллами, способствуя дополнительному растяжению комплементарных цепей. Эффект растяжения может усиливаться также взаимодействием гистонов и других белков с одной из комплементарных цепочек ДНК. Тем не менее, общий вклад силы притяжения между молекулами в стабильность ДНК, по-видимому, остается небольшим, о чем свидетельствует незначительное снижение $T_{\text{пл}}$.

Особая роль магния подтверждается термическим поведением ядерного хроматина при физиологической ионной силе в отсутствии ионов Mg²⁺ (рис. 6). Известно, что ионы натрия конкурируют с ионами магния, вытесняя последние, и в физиологической концентрации сохраняют определенную степень компактизации хроматина (до уровня 30 нм фибрилл). Если ядра, выделенные в присутствии магния, перевести в раствор 20 мМ ТЭА и 125 мМ NaCl, то $T_{\text{пл}}$ ядерной ДНК становится выше, чем в растворе с магнием. Опять же, больше возрастает $T_{\text{пл}}$ топологически напряженной ДНК. При этом физиологическая ионная сила подавляет взаимодействие гистонов с ДНК, и пик гистонов резко теряет свою стабильность, что выражается в значительном снижении $T_{\text{пл}}$ и энталпии плавления.

Следует заметить, что в литературе рассматриваются и другие механизмы понижения $T_{\text{пл}}$ ДНК в присутствии ионов Mg²⁺. Это, прежде всего, возможное взаимодействие Mg²⁺ с остатками гуанина [48, 49], а также его пи-взаимодействия с основаниями [57]. Понижение $T_{\text{пл}}$ в присутствии лиганда также обычно наблюдают, когда константа взаимодействия с денатурированной формой макромолекулы превышает ее значение для нативной. Однако установлено, что в случае ионов магния константа связывания с ДНК в нативном состоянии выше, чем с ДНК в денатурированном состоянии [58].

Интересная информация была получена нами при повышенных концентрациях магния (>5 мМ)

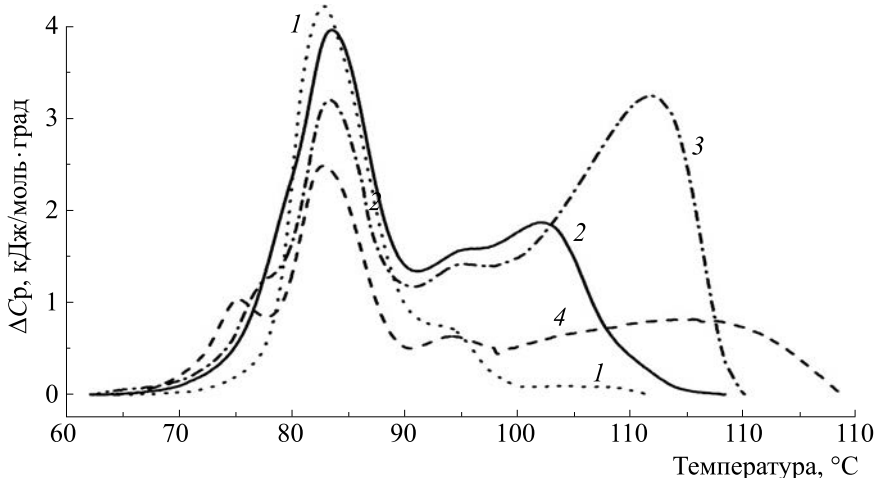


Рис. 7. Изменение термограмм плавления ядер клеток печени крысы в буфере 20 мМ ТЭА, pH 7.6 при увеличении концентрации $MgCl_2$: кривая 1 – 5 мМ, кривая 2 – 10 мМ, кривая 3 – 20 мМ, кривая 4 – 40 мМ.

и нагревании компактных ядер до температуры 130°C.

На термограмме (рис. 7) обнаруживался новый высокотемпературный пик с $T_{пл}$ больше 100°C. Ранее было показано образование агрегатов денатурированной ДНК в присутствии магния в процессе денатурации, но разваливающихся при достижении $T_{пл}$ или насыщающей концентрации магния [59, 60]. Возможно и в нашем случае, что это стабилизированная магнием денатурированная ДНК в составе хроматина, образующая специфические агрегаты с более высокой $T_{пл}$, подобно описанным ранее при плавлении ДНК в присутствии физиологической концентрации натрия и высокой концентрации магния [49]. Однако плавление этих агрегатов происходило до 100°C. В то же время появление этого пика коррелировало с уменьшением интенсивности пика II, что может служить указанием на их взаимосвязь. Таким образом, не исключено, что это – предобразовавшаяся при комнатной температуре некая компактная конденсированная форма хроматина, возможно, ассоциирована с денатурированной ДНК, которая кооперативно и с большей энталпийей плавится при значительно более высоких температурах. Ее разрушение при дальнейшем увеличении концентрации магния и, соответственно, ионной силы свидетельствует об участии белка в формировании этой структуры путем электростатического взаимодействия между белком и ДНК. Работы в этом направлении продолжаются.

Таким образом, в данной работе с помощью метода ДСК, позволяющего работать с мутными суспензиями ядер, получены термодинамические данные по плавлению внутриядерного хроматина

в присутствии ионов магния. Их анализ позволил предположить, что ионы магния в относительно малых концентрациях в условиях ограниченного пространства и высокой плотности внутриядерного хроматина способны вызывать такие изменения в балансе сил взаимодействия между соседними молекулами ДНК и межцепочечными силами внутри ДНК, которые вызывают ее дестабилизацию и снижение $T_{пл}$. При этом стабилизация октамера гистонов в присутствии магния связана с полимерным состоянием ДНК. Повышенные концентрации магния в условиях кроудинга в ядре, возможно, приводят к формированию особо стабильных конденсатов нуклеопротеидов, плавящихся с увеличенной энталпийей и $T_{пл}$. Из наших результатов можно также заключить, что магний, понижая $T_{пл}$ и ослабляя взаимодействие двух цепочек ДНК, способствует действию ферментов типа полимераз. Известно, что полимеразы создают впереди себя положительное напряжение (торсиональный стресс) в ДНК, препятствующее их движению. Магний, оказывая свое действие на напряженную ДНК сильнее, чем на релаксированную, тем более способствует продвижению полимеразы.

БЛАГОДАРНОСТИ

Авторы выражают благодарность В.Н. Орлову и В.Н. Мичуриной за помощь в экспериментах с применением ДСК.

КОНФЛИКТ ИНТЕРЕСОВ

У авторов отсутствует конфликт интересов в финансовой и в какой-либо иной сфере.

СОБЛЮДЕНИЕ ЭТИЧЕСКИХ СТАНДАРТОВ

Все эксперименты на животных проводили в соответствии с национальными и международными руководящими принципами по уходу и гуманному использованию животных.

СПИСОК ЛИТЕРАТУРЫ

1. E. I. Prieto and K. Maeshima, Essays Biochem., **63** (1), 133 (2019).
2. J. R. Daban, Biochemistry, **39**, 3861 (2000).
3. G. Li and D. Reinberg, Curr. Opin. Genet. Dev., **21**, 175 (2011).
4. J. C. Hansen, Ann. Rev. Biophys. Biomol. Struct., **31**, 361 (2002).
5. В. Ю. Поляков, О. В. Зацепина, И. И. Киреев и др., Биохимия, **71**, 6 (2006).
6. Z. Zhou, R. Yan, W. Jiang, and J. M. K. Irudayaraj, Nanoscale Adv., **3** (4), 1019 (2021).
7. M. Tark-Dame, R. van Driel, and D. W. Heermann, J. Cell Sci., **124** (6), 839 (2011).
8. K. Maeshima, S. Tamura, J. C. Hansen, and Y. Itoh, Curr. Opin. Cell Biol., **64**, 77 (2020).
9. M. Egli, Chem. Biol., **9**, 277 (2002).
10. A. A. Kornyshev, D. J. Lee, S. Leikin, and A. Wynveen, Rev. Mod. Phys., **79**, 943 (2007).
11. A. G. Cherstvy, Phys. Chem. Chem. Phys., **13**, 9942 (2011).
12. Z. J. Tan and S. J. Chen, Biophys. J., **91** (2), 518 (2006).
13. V. A. Bloomfield, Biopolymers, **44** (3), 269 (1997).
14. P. M. Schwarz, A. Felthauer, T. M. Fletcher, and J. C. Hansen, Biochemistry, **35** (13), 4009–(1996).
15. M. de Frutos, E. Raspaud, A. Leforestier, and F. Livolant, Biophys. J., **81** (2), 1127 (2001).
16. C. A. Davey, and T. J. Richmond, Proc. Natl. Acad. Sci. USA, **99** (17), 11169 (2002).
17. A. Bertin, S. Mangenot, M. Renouard, et al., Biophys J., **93**, 3652 (2007).
18. N. Korolev, A. Allahverdi, Ye. Yang, et al., Biophys. J., **99**, 1896 (2010).
19. A. Zinchenko, N. V. Berezhnoy, S. Wang, et al., Nucl. Acids Res., **46**, 635 (2018).
20. M. Krafcikova, S. Dzatko, C. Caron, et al., J. Am. Chem. Soc., **141** (34), 13281 (2019).
21. J. Ellenberg, A. Walter, C. Chapuis, and S. Huetol, J. Struct. Biol., **184** (3), 445 (2013).
22. P. J. Giannasca, R. A. Horowitz, and C. L. Woodcock, J. Cell Sci., **105** (2), 551 (1993).
23. T. Ohyama, Int. J. Mol. Sci., **20** (17), 4232 (2019).
24. M. A. Billett and T. J. Hall, Nucl. Acids Res., **6** (8), 2929 (1979).
25. Y. Shimamoto, S. Tamura, H. Masumoto, and K. Maeshima, Mol. Biol. Cell, **28** (11), 1580 (2017).
26. S. Schnell and R. Hancock, Methods Mol. Biol., **463**, 3 (2008).
27. R. Hancock, Biochemistry (Mosc.), **83** (4), 326 (2018).
28. R. Strick, P. L. Strissel, K. Gavrilov, and R. Levi-Setti, J. Cell Biol., **155** (6), 899 (2001).
29. N. Korolev, O. V. Vorontsova, and L. Nordenskiöld, Prog. Biophys. Mol. Biol., **95**, 23 (2007).
30. S. E. Farr, E. J. Woods, J. A. Joseph, et al., Nat. Commun., **12** (1), 2883 (2021).
31. А. Н. Прусов, Т. А. Смирнова и Г. Я. Коломийцева, Биохимия, **80** (3), 427 (2015).
32. А. С. Спирин, Биохимия, **23**, 656 (1976).
33. A. Prado, C. Puyo, J. Arlucea, et al., J. Colloid Interface Sci., **177** (1), 9 (1996).
34. N. A. Touchette and R. D. Cole, Proc. Natl. Acad. Sci. USA, **82**, 2642 (1985).
35. C. Balbi, M. L. Abelmoschi, L. Gogioso, S. Parodi, et al., Biochemistry, **28**, 3220 (1989).
36. C. Nicolini, A. Diaspro, L. Vergani, and G. Cittadini, Int. J. Biol. Macromol., **10**, 137 (1988).
37. M. Almagor and R. D. Cole, Biochemistry, **28**, 5688 (1989).
38. N. A. Touchette and R. D. Cole, Biochemistry, **31**, 1842 (1992).
39. A. N. Prusov, G. Ya. Kolomijtseva, and T. A. Smirnova, Pharmaceut. Biol., **55**, 687 (2017).
40. B. Cavazza, G. Brizzolara, G. Lazzarini, et al., Biochemistry, **30** (37), 9060 (1991).
41. C. Balbi, P. Sanna, P. Barbora, et al., Biophys. J., **77** (5), 2725, (1999).
42. S. Noriega, G. Budhiraja, and A. Subramanian, Int. J. Biochem. Cell Biol., **44** (8), 1331 (2012).
43. M. Almagor and R. D. Cole, J. Biol. Chem., **264**, 6515 (1989).
44. А. Н. Прусов, Т. А. Смирнова и Г. Я. Коломийцева, Биохимия, **83** (10), 1534 (2018).
45. Z. Darzynkiewicz, F. Traganos, T. Sharpless, and M. R. Melamed, J. Cell Biol., **68** (1), 1 (1976).
46. X. Ni and R. D. Cole, Biochemistry, **33** (31), 9276 (1994).
47. I. Sissoëff, J. Grisvard, and E. Guillé, Prog. Biophys. Mol. Biol., **31** (2), 165 (1976).
48. Y. P. Blagoi, V. A. Sorokin, V. A. Valeev, et al., Biopolymers, **17** (5), 1103 (1978).
49. А. П. Власов, Л. И. Яхонтова и В. Т. Андрианов, Биофизика, **36** (3), 437 (1991).
50. K. Serec, S. D. Babic, R. Podgornik and S. Tomic, Nucl. Acids Res., **44**, 178456 (2016).
51. I. Koltover, K. Wagner, and C. R. Safinya, Proc. Natl. Acad. Sci. USA, **97** (26), 14046 (2000).
52. A. A. Kornyshev and S. Leikin, J. Chem. Phys., **107**, 3656 (1997).
53. A. G. Cherstvy and A. A. Kornyshev, J. Phys. Chem., **109** (26), 13024 (2005).
54. A. G. Cherstvy and V. B. Teif, J. Biol. Phys., **39** (3), 363 (2013).
55. Zh.-L. Zhang, Y. Y. Wu, K. Xi, et al., Biophys. J., **113**, 517 (2017).
56. G. R. Clark, C. J. Squire, L. J. Baker, et al., Nucl. Acids Res., **28** (5), 1259 (2000).
57. L. McFail-Isom, X. Shui, and L. Williams, Biochemistry, **37** (49), 17105 (1998).
58. J. E. Morgan, J. W. Blankenship, and H. R. Matthews, Arch. Biochem. Biophys., **246** (1), 225 (1986).
59. G. S. Ott, R. Ziegler, and W. R. Bauer, Biochemistry, **14** (15), 3431 (1975).
60. J. G. Duguid, V. A. Bloomfield, J. M. Benevides, and G. J. Thomas, Jr., Biophys. J., **69** (6), 2623 (1995).

Melting Calorimetry of Rat Liver Nuclei in the Presence of Magnesium Ions

G.Ya. Kolomijtseva*, A.N. Prusov*, E.A. Kolomijtseva**, and T.A. Smirnova*, ***

*Belozersky Institute of Physico-Chemical Biology, Lomonosov Moscow State University,
Leninskie Gory, 1/40, Moscow, 119992 Russia

**MIREA – Russian Technological University, prosp. Vernadskogo 78, Moscow, 119454 Russia

***All-Russian Research Institute of Agricultural Biotechnology, Timiryazevskaya ul. 42, Moscow, 127550, Russia

Differential scanning calorimetry was used to determine thermodynamic parameters of decondensation of intranuclear rat liver chromatin was induced by a decrease in the concentration of magnesium ions from 5 mM to 0 mM. The process of chromatin melting in the temperature range of 70–100°C occurs in the following order: melting of core-histones, melting of relaxed DNA, and melting of topologically constrained DNA. It was found that T_m and ΔH of individual peaks also depend on the concentration of Mg^{2+} ions in the buffer. In nuclei with condensed chromatin, Mg^{2+} ions at a concentration of 5 mM increased significantly the T_m of core histones (by ~7°C), as compared to that in unfolded chromatin but at the same time lowered the T_m of nuclear DNA both in the relaxed and constrained state (by ~2.5°C and ~7.5°C, respectively). In the presence of Mg^{2+} ions, melting enthalpy for peaks increased significantly. At the same time, a decrease in molecular weights of intranuclear DNA levels out a stabilizing effect of Mg^{2+} ions on core histones. A rise in the concentration of Mg^{2+} ions above 5 mM leads to the appearance of a new peak with T_m above 100°C, which probably reflects the thermal behavior of some Mg-induced aggregates. Possible mechanisms underlying thermal behavior of chromatin inside the nucleus are discussed.

Keywords: nucleus, chromatin, Mg^{2+} cations, differential scanning calorimetry, thermodynamics, DNA torsional stress